

# Nieoperacyjne zamknięcie pozawałowego ubytku w przegrodzie międzykomorowej u pacjenta po wcześniejszej implantacji kardiowertera-defibrylatora

## *Transcatheter closure of postinfarction ventricular septal defect in patient with implanted cardioverter-defibrillator*

Cezary Kępka<sup>1</sup>, Marcin Demkow<sup>1</sup>, Marek Konka<sup>2</sup>

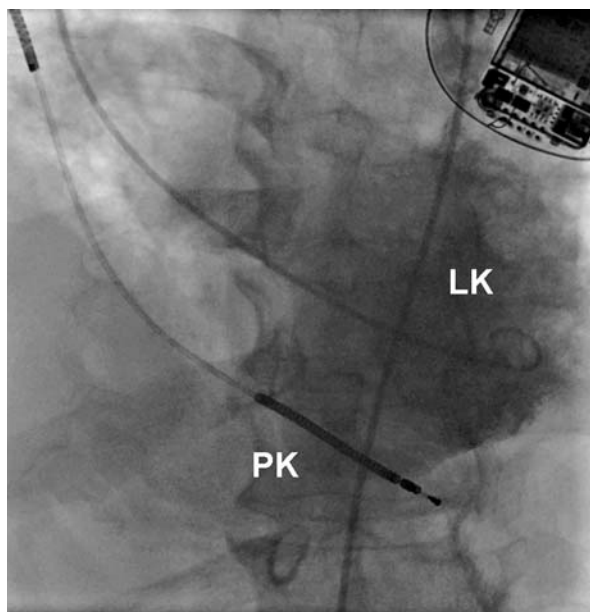
<sup>1</sup> Pracownia Hemodynamiki, Instytut Kardiologii, Warszawa

<sup>2</sup> Pracownia Echokardiografii, Instytut Kardiologii, Warszawa

Post Kardiol Interw 2009; 5, 3 (17): 162–165

**Słowa kluczowe:** pozawałowy ubytek międzykomorowy, nieoperacyjne zamknięcie, kardiologia interwencyjna

**Key words:** postinfarction septal defect, transcatheter closure, interventional cardiology



**Ryc. 1.** Wentrykulografia lewostronna. Widoczny istotny przeciek przez ubytek do prawej komory

LK – lewa komora, PK – prawa komora

**Fig. 1.** Left ventriculography. Significant left-to-right shunt can be seen

LK – left ventricle, PK – right ventricle

### Opis przypadku

Chory 78-letni zgłosił się do szpitala rejonowego z powodu bólu wieńcowego trwającego od ponad 24 godz. Na podstawie badań dodatkowych rozpoznano zawał mięśnia sercowego (ściany dolnej lewej komory) w okresie ewolucji. Ponieważ początek dolegliwości miał miejsce, ponad wszelką wątpliwość, ponad dobę przed zgłoszeniem się do szpitala, odstąpiono od leczenia reperfuzyjnego. W kolejnej dobie pobytu zaobserwowano pogorszenie stanu klinicznego, a w badaniu echokardiograficznym stwierdzono ubytek w przegrodzie międzykomorowej, z istotnym hemodynamicznym przeciekiem lewo-prawym. Chory był początkowo leczony zachowawczo przez kilka tygodni. W tym okresie z powodu nawracających istotnych komorowych zaburzeń rytmu implantowano kardiowerter-defibrylator. Wobec nieskuteczności postępowania zachowawczego – utrzymywania się objawów niewydolności serca w klasie III/IV wg NYHA – pacjenta skierowano do Instytutu Kardiologii w celu leczenia zabiegowego.

Konsultujący chorego kardiochirurg, po uwzględnieniu licznych obciążeń (w tym wiek, cukrzyca, rozsiana miażdżyca, niewydolność nerek, niewydolność serca wymagająca leków dożylnych) i ocenie ryzyka okołoperacyjnego, wykluczył możliwość leczenia operacyjnego. Zdecydowano o podjęciu próby wykonania zabiegu

**Adres do korespondencji/Corresponding author:** dr n. med. Cezary Kępka, Pracownia Hemodynamiki, Instytut Kardiologii, ul. Alpejska 42, 04-628 Warszawa,

tel.: +48 22 343 43 42, faks: +48 22 812 13 46, e-mail: c.kepka@ikard.pl

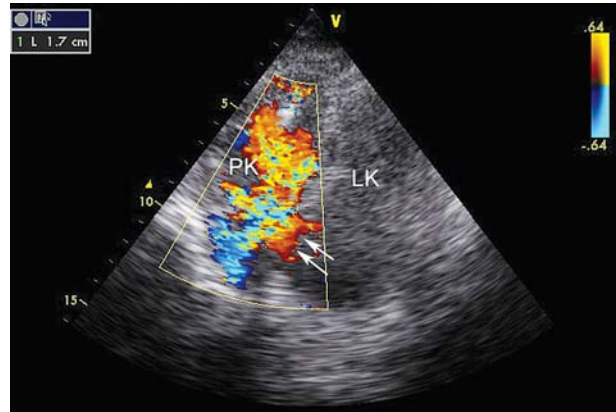
Praca wpłynęła 30.08.2009, wersja poprawiona wpłynęła 2.09.2009, przyjęta do druku 7.09.2009.

zamknięcia ubytku metodą nieoperacyjną. Dodatkowym utrudnieniem technicznym w wykonaniu zabiegu, dotychczas niespotykanym, była wcześniejsza implantacja kardiowertera-defibrylatora i obecność elektrody w prawej komorze (okluder implantowany jest od strony prawej komory). W wentrykulografii lewostronnej (ryc. 1.) potwierdzono obecność istotnego ubytku z istotnym lewo-prawym przeciekiem. Badanie echokardiograficzne pozwoliło na do-

kładną ocenę lokalizacji elektrody i potwierdziło jej położenie w bezpośrednim sąsiedztwie ubytku (ryc. 2. A i B).

### Opis zabiegu

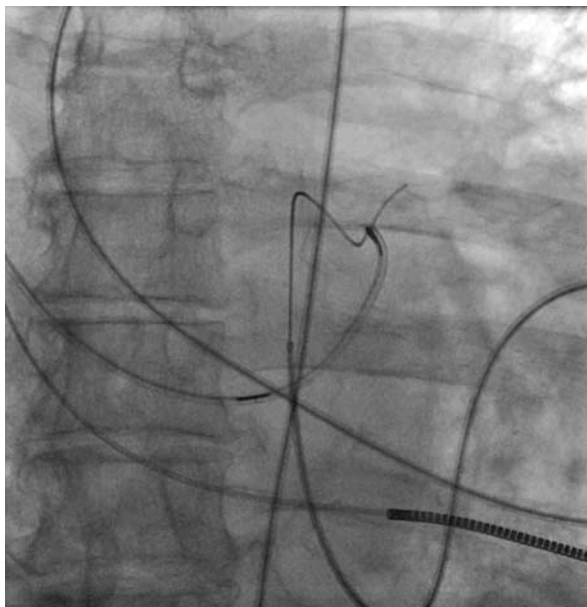
W znieczuleniu miejscowym, pod kontrolą przezklatkowego badania echokardiograficznego, z dostępu od prawej żyły szyjnej podjęto próbę zamknięcia ubytku.



**Ryc. 2.** Echokardiograficzne badanie przezklatkowe. Zmodyfikowana projekcja koniuszkowa czteroizobrowa. **A** – widoczny duży ubytek (VSD) (strzałki), elektroda ICD (strzałka); **B** – duży przeciek przez VSD uwidoczniony metodą kolorowego dopplera (strzałki)

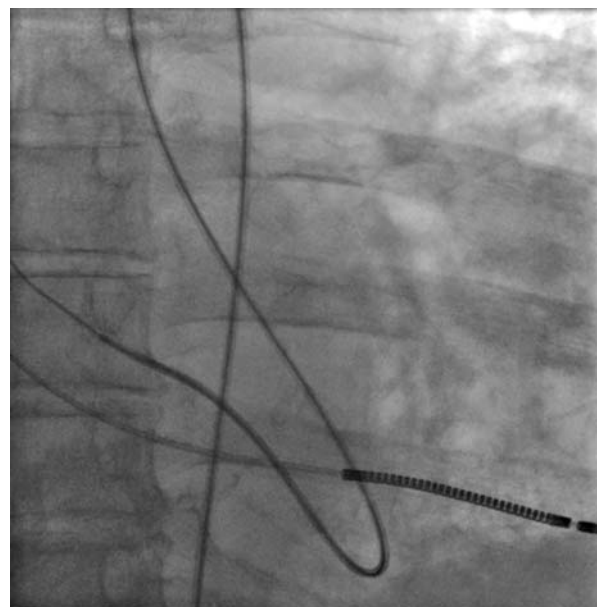
LK – lewa komora, PK – prawa komora

**Fig. 2.** *Transthoracic echocardiography. Four chamber view. A – large septal defect (arrows) and defibrillator lead (arrow). B – color Doppler – significant left-to-right shunt can be seen (arrows)*



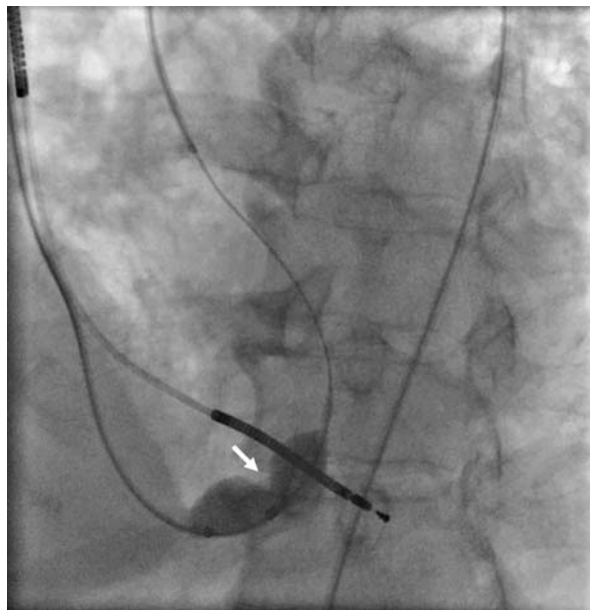
**Ryc. 3.** Początkowy etap zabiegu. Widoczny przewód (wprowadzony z dostępu od tętnicy udowej) oraz cewnik (wprowadzony przez żyłę szyjną). Przewód uchwytany. Przygotowanie do wytworzenia pętli tętniczo-żylną

**Fig. 3.** *The beginning of the procedure. A guidewire (passed via femoral artery) and snare catheter (passed via jugular vein) in pulmonary trunk. A guidewire is caught by the snare*



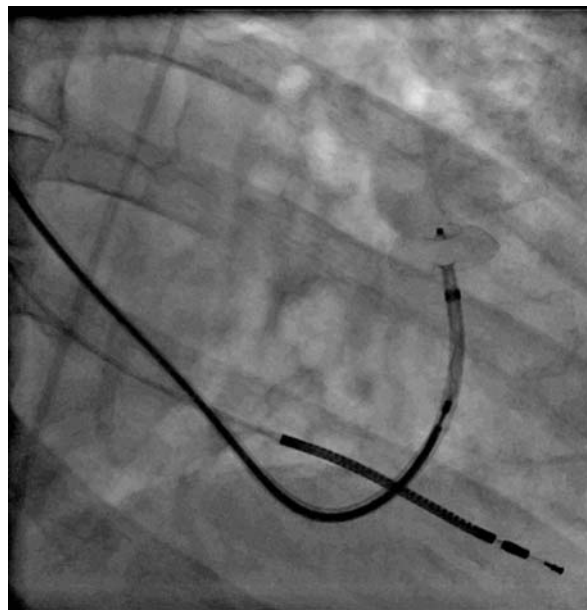
**Ryc. 4.** Wytworzona pętla tętniczo-żylna, niezbędna do przeprowadzenia dalszej części zabiegu

**Fig. 4.** *Arterio-venous loop created*



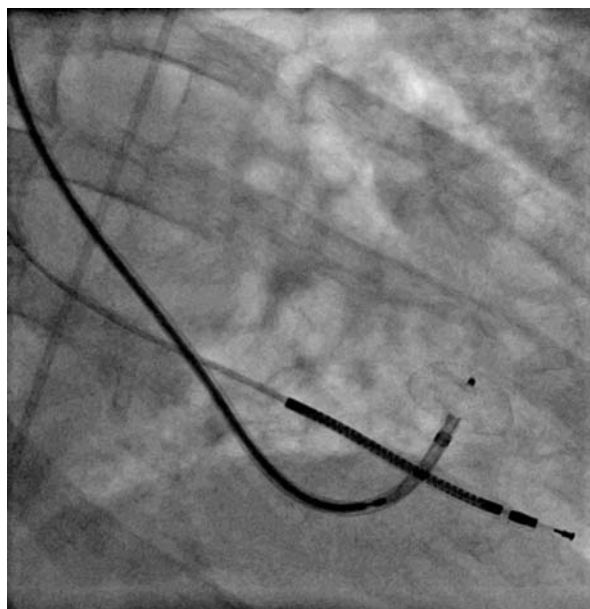
**Ryc. 5.** Pomiar średnicy ubytku cewnikiem z balonem. Widoczne wyraźne przewężenie w baloniku wypełnionym środkiem kontrastowym, pozwalające ocenić średnicę rozciągniętego ubytku (strzałka)

**Fig. 5.** Sizing of the defect with a balloon catheter. The diameter of the defect can be estimated (waist of the balloon) (arrow)



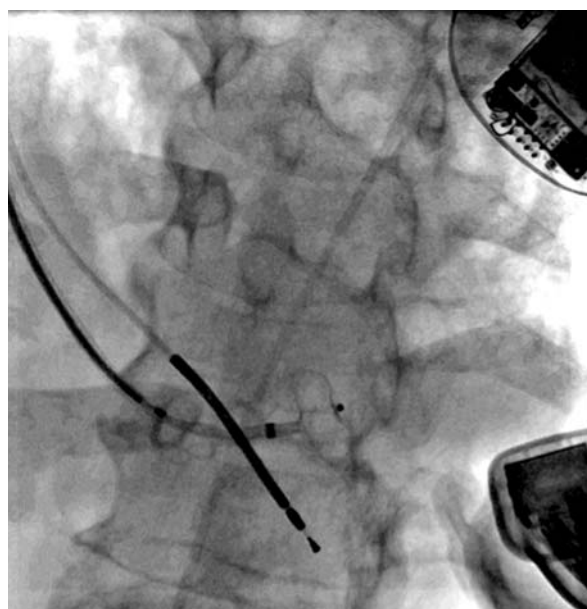
**Ryc. 6.** Dystalny (lewokomorowy) dysk okludera rozprężony w lewej komorze, daleko od przegrody. Pozostała część okludera znajduje się jeszcze w koszulce uwalniającej

**Fig. 6.** The distal (left) disc of the device is released in left ventricle



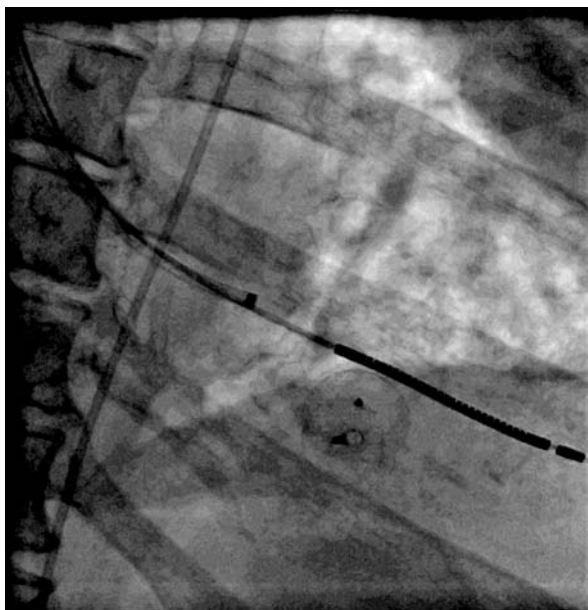
**Ryc. 7.** Dysk lewokomorowy zbliżony w okolice ubytku, po podciągnięciu koszulki doprowadzającej

**Fig. 7.** The occluder is located in the defect by pulling the delivery sheath



**Ryc. 8.** Dysk lewokomorowy w okolicy ubytku. Kontrola lokalizacji okludera w innej projekcji

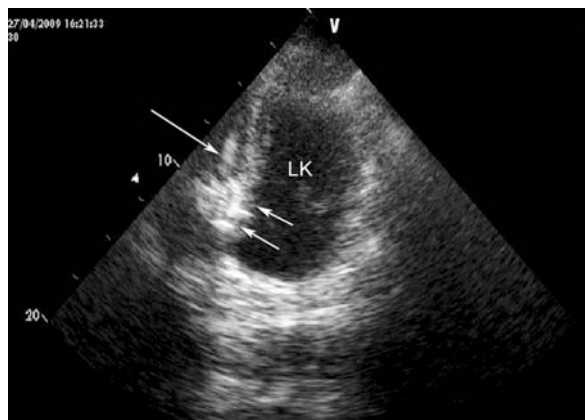
**Fig. 8.** The confirmation of the proper position of the device in different projection



**Ryc. 9.** Uwolniony okluder wypełniający ubytek. Widoczne bezpośrednie sąsiedztwo elektrody wewnątrzsercowej, jednak bez bezpośredniego kontaktu

**Fig. 9.** The occluder is released. The defibrillator lead is located close to, but not in direct contact with the device

Po wprowadzeniu cewnika z pętlą przez żyłę szyjną oraz przewodnika przez tętnicę udową koniec cewnika uchwyciono pętlą (ryc. 3.), a następnie wytworzono pętlę tętniczo-żylną (ryc. 4.). Okres kilku tygodni, który minął od perforacji przegrody do wykonania zabiegu, pozwolił na bezpieczne wykonanie pomiaru średnicy ubytku cewnikiem z balonem (ryc. 5.). Na podstawie tego pomiaru wybrano okluder o odpowiedniej średnicy. Do zabiegu użyto okludera zaprojektowanego i przeznaczonego do zamykania ubytków międzyprzedsionkowych (Amplatzer Septal Occluder). Po rozprężeniu dystalnego, lewokomorowego dysku i podciągnięciu koszulki tak, aby środkowa część okludera wypełniła ubytek (ryc. 6.–8.), rozprężono drugi dysk w prawej komorze. Po wykonaniu manewrów okluderem oraz koszulką uwalniającą udało się uzyskać taką pozycję elektrody, aby nie była ona poddawana kompresji przez okluder. Urządzenie zostało implantowane bezpiecznie, bez groźby dodatkowych powikłań. Dobry wynik zabiegu (niewielki przeciek rezydualny) oraz bezpieczne położenie elektrody (brak bezpośrednie-



**Ryc. 10.** Echokardiograficzne badanie przezklatkowe. Badanie po założeniu okludera Amplatza (strzałki), elektroda ICD (strzałka). Prawidłowa lokalizacja okludera

LK – lewa komora

**Fig. 10.** Transthoracic echocardiography. The occluder properly implanted  
LK – left ventricle

go kontaktu) potwierdzono we fluoroskopii (ryc. 9.) oraz w badaniu echograficznym (ryc. 10.). Pacjent został wypisany do domu po modyfikacji leczenia farmakologicznego, w klasie czynnościowej II wg NYHA. Inne powikłania nie wystąpiły.

## Podsumowanie

Zabiegi nieoperacyjnego zamykania pozawałowych ubytków przegrody międzykomorowej są wykonywane w Instytucie Kardiologii od kilku lat. Wymagają one prawidłowej kwalifikacji pacjentów oraz dużego doświadczenia operatorów. Zabiegi te są trudne technicznie, co powoduje, że wykonywane są jedynie w wybranych ośrodkach. Bezpośrednie i odległe wyniki zabiegów są dobre, z wyjątkiem pacjentów leczonych w pierwszych kilkunastu dniach od perforacji przegrody (w okresie gojenia się ubytku). Opisany przypadek pokazuje, że zabieg może być wykonany, nawet jeśli wcześniej implantowano kardiowerter-defibrylator.